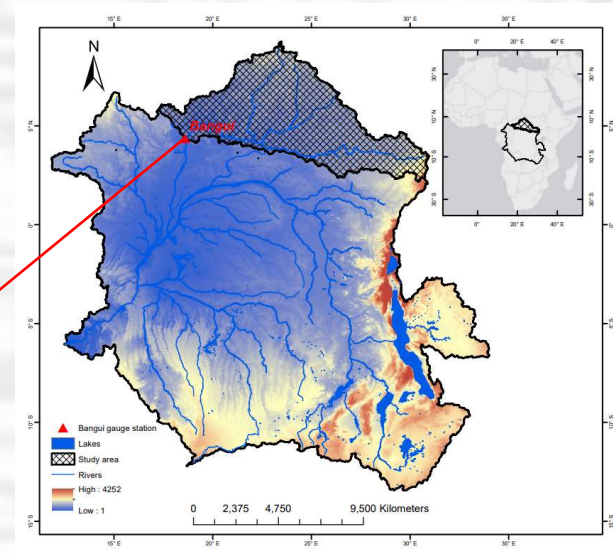
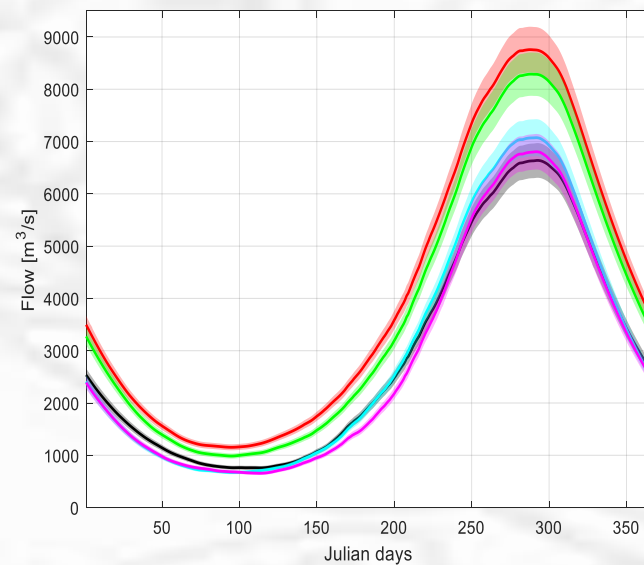


Évaluation des impacts des changements climatiques sur les débits de grand bassins non jaugés: approche multi-modèles dans le sous-bassin nord du fleuve Congo



Plan de la présentation

- 1. Problématique: définition – conséquences – pratiques actuelles – limites des pratiques actuelles dans les BNJ**
- 2. Objectifs**
- 3. Méthodologie**
- 4. Domaine d'études**
- 5. Résultats et discussions**
- 6. Conclusion et recommandations**

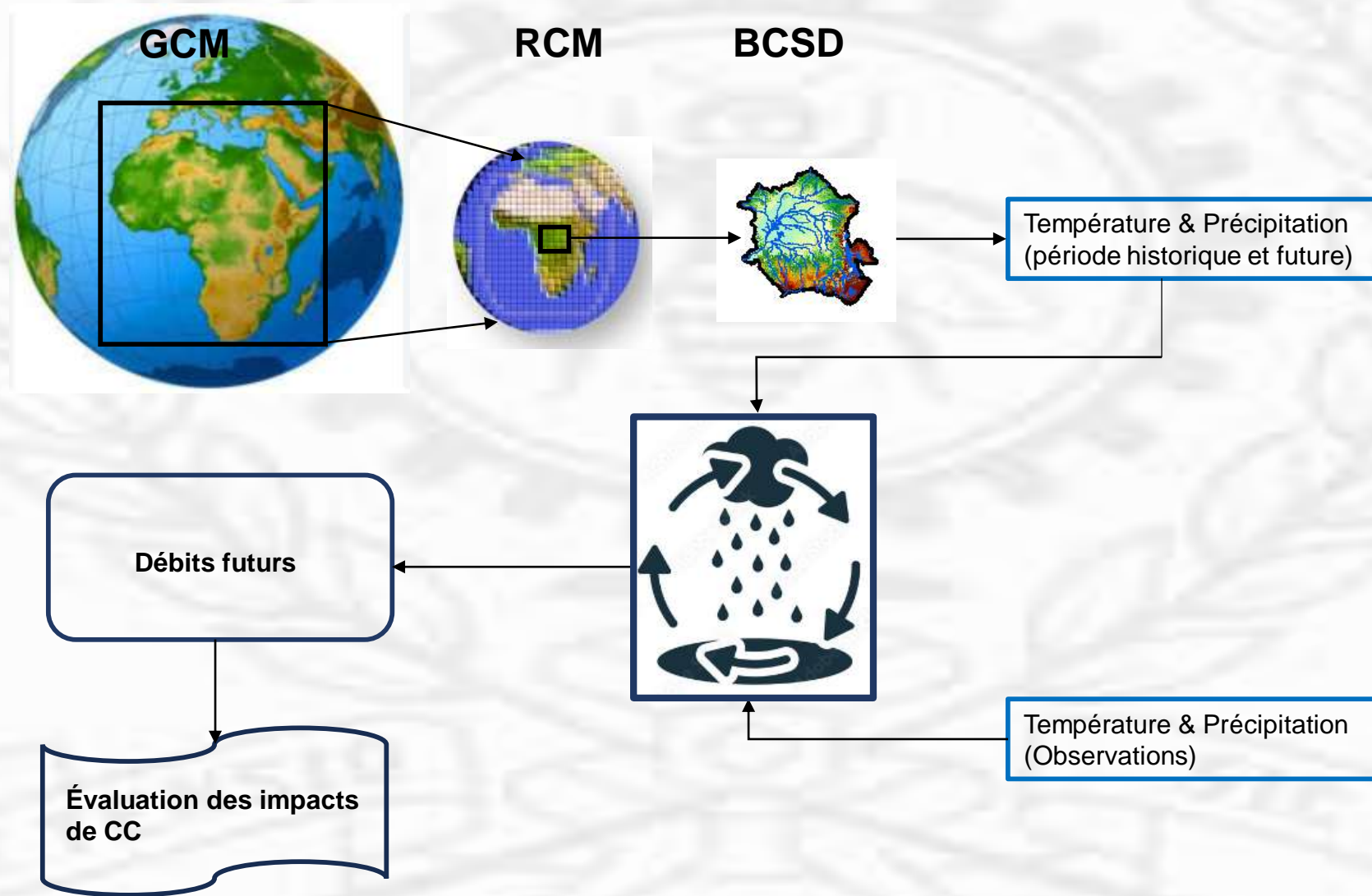


Problématique

Conséquences



Pratiques actuelles



Limites des pratiques actuelles dans les GBNJ

- ❑ Observations des variables hydrologiques inadéquates (qualité et quantité)
- ❑ Variable d'intérêt n'a pas été mesurée à la résolution, ou pour la durée requise

Nécessité d'une source alternative des données.



Objectifs

Objectif général: Utiliser les données climatiques NEX-GDDP (NASA Earth Exchange Global Daily Downscaled Projections) comme sources d'informations pour la modélisation hydrologique des bassins non jaugés dans un contexte des changements climatiques.

Objectif spécifique #1:

Évaluer le potentiel des 13 modèles NEX-GDDP-CMIP6 pour les scénarios SSP2 4.5 et SSP5 8.5, ainsi que de leurs prédécesseurs NEX-GDDP-CMIP5 pour les scénarios RCP 4.5 et RCP 8.5 en modélisation hydrologique.

Objectif spécifique #2:

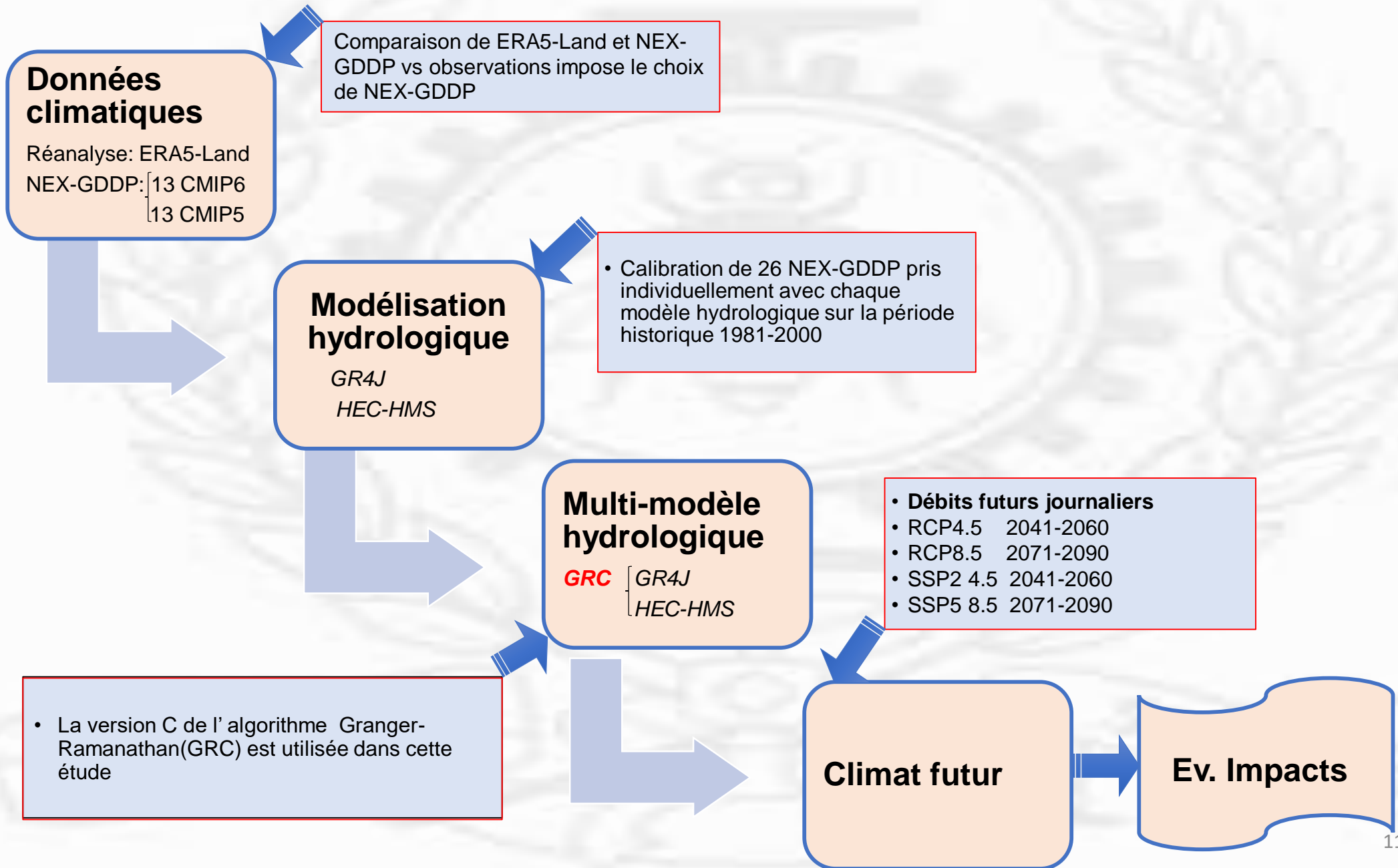
Utiliser les simulations de 13 modèles NEX-GDDP-CMIP6 et leurs prédécesseurs NEX-GDDP-CMIP5 pour l'approche multi-modèles et comparer leurs performances aux membres individuels.

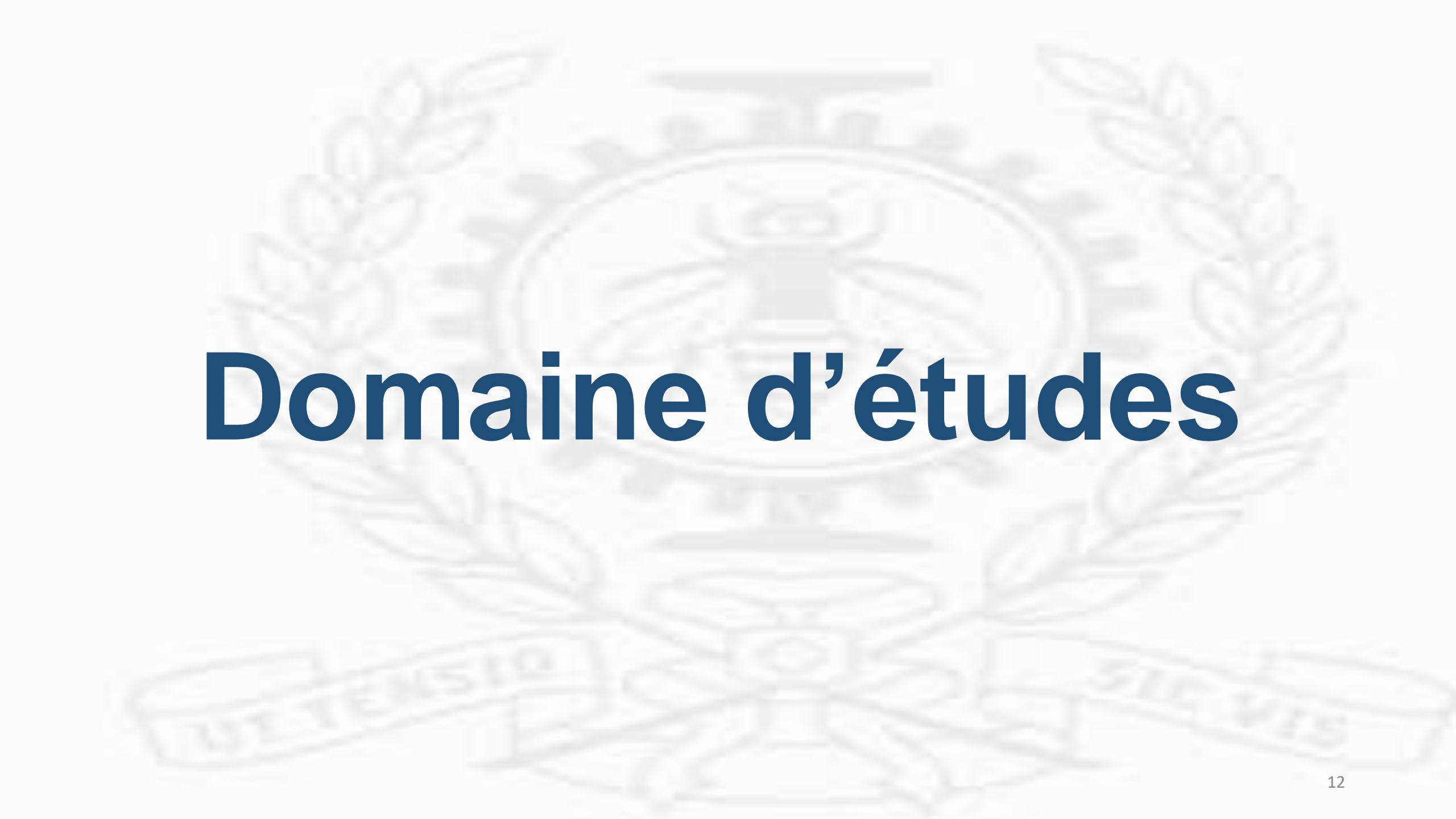
Objectif spécifique #3:

Évaluer les impacts des changements climatiques sur les débits à l'exutoire de Bangui en utilisant l'approche multi-modèle de la combinaison des modèles GR4J et HEC-HMS.



Méthodologie

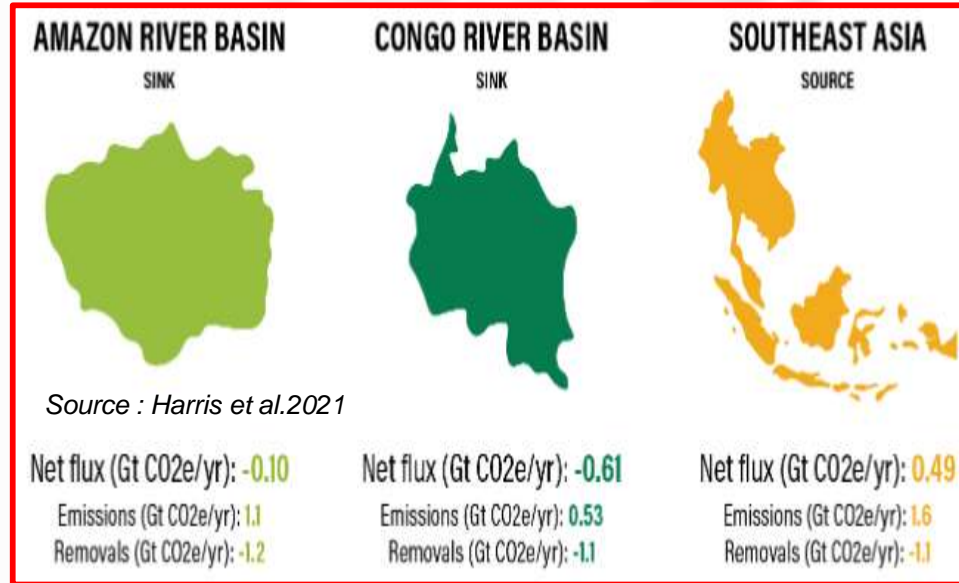




Domaine d'études

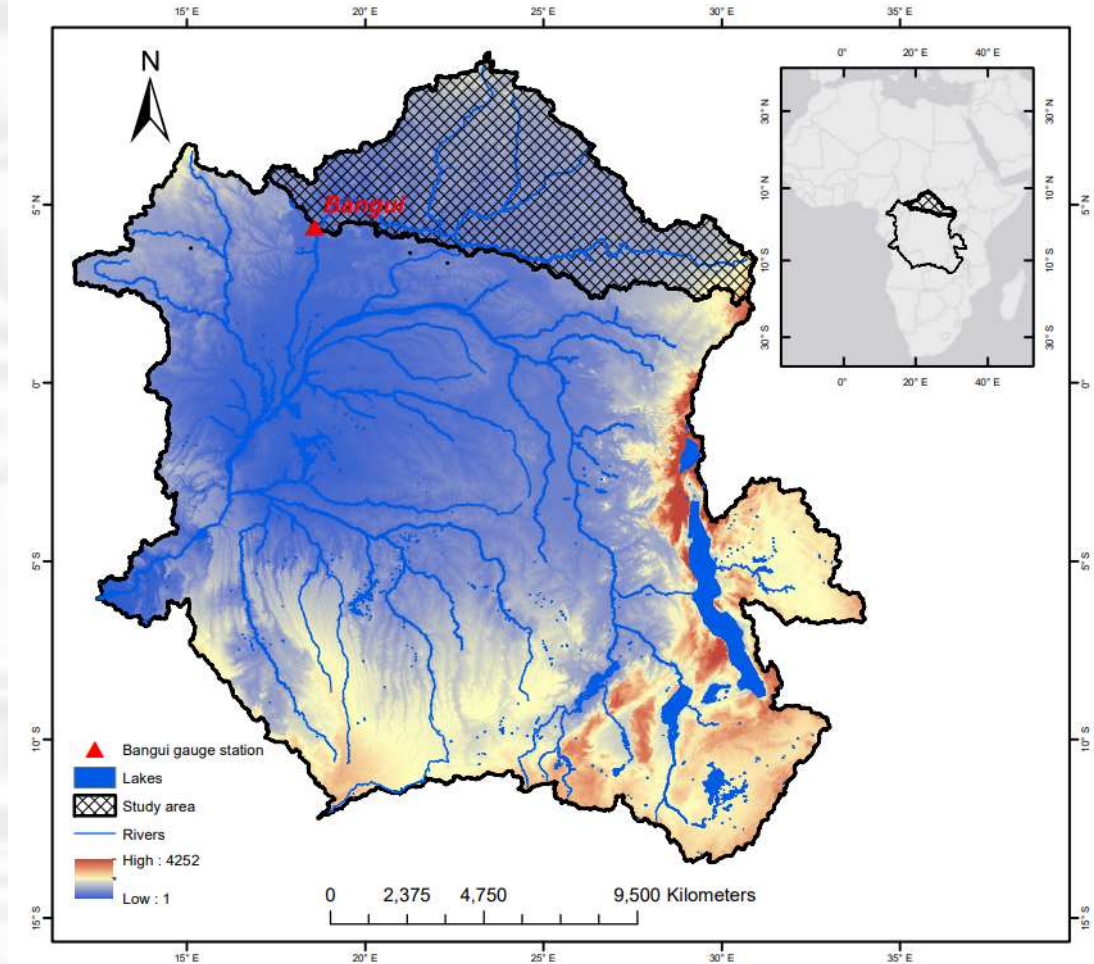
Bassin versant du fleuve Congo

- Superficie: 3,8 Millions Km²
- Débit moyen : 41 000 m³/s
- Potentiel Inga:44000 MW



Transition énergétique

- Cobalt
- Coltan
- Cuivre
- Lithium, etc.



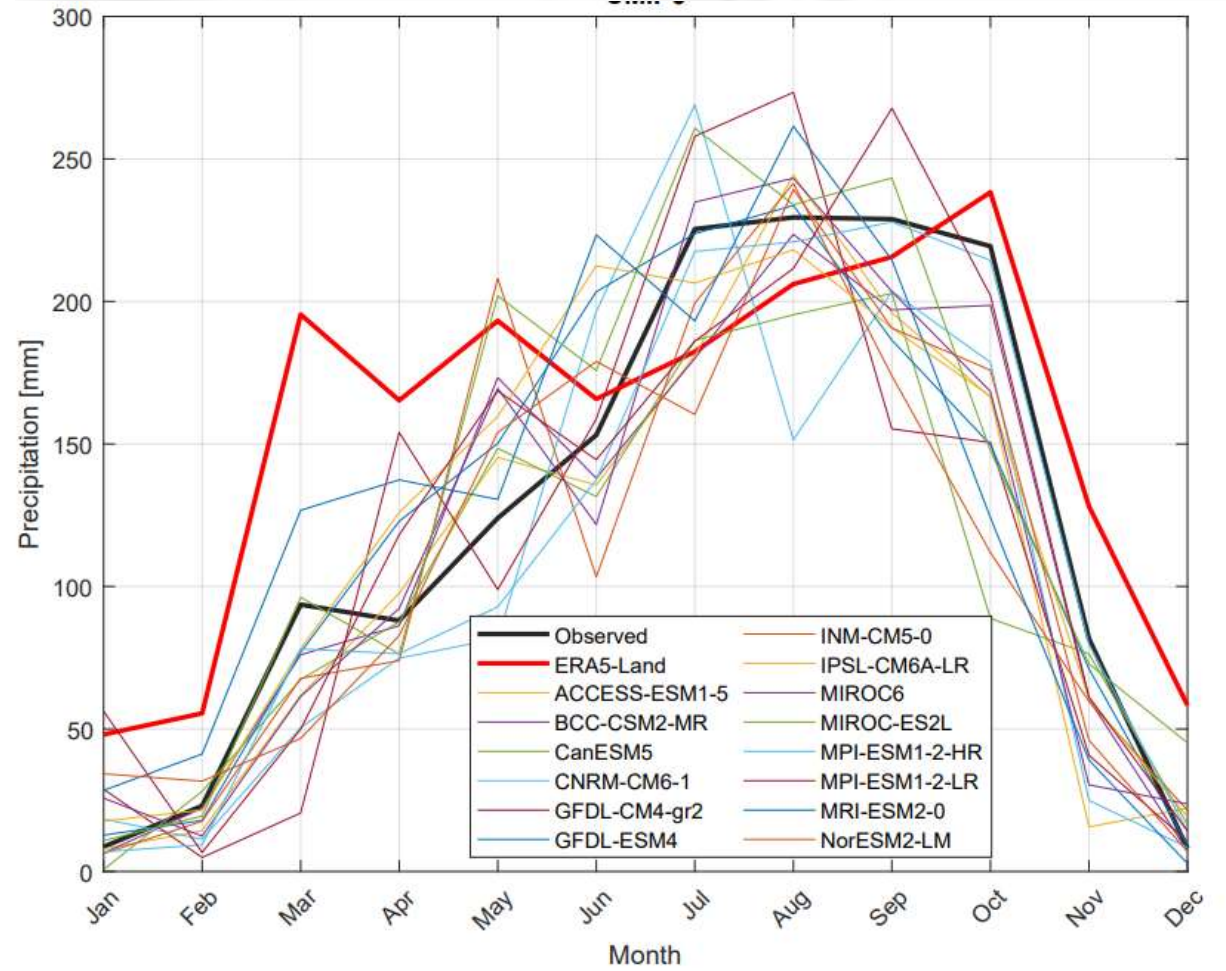
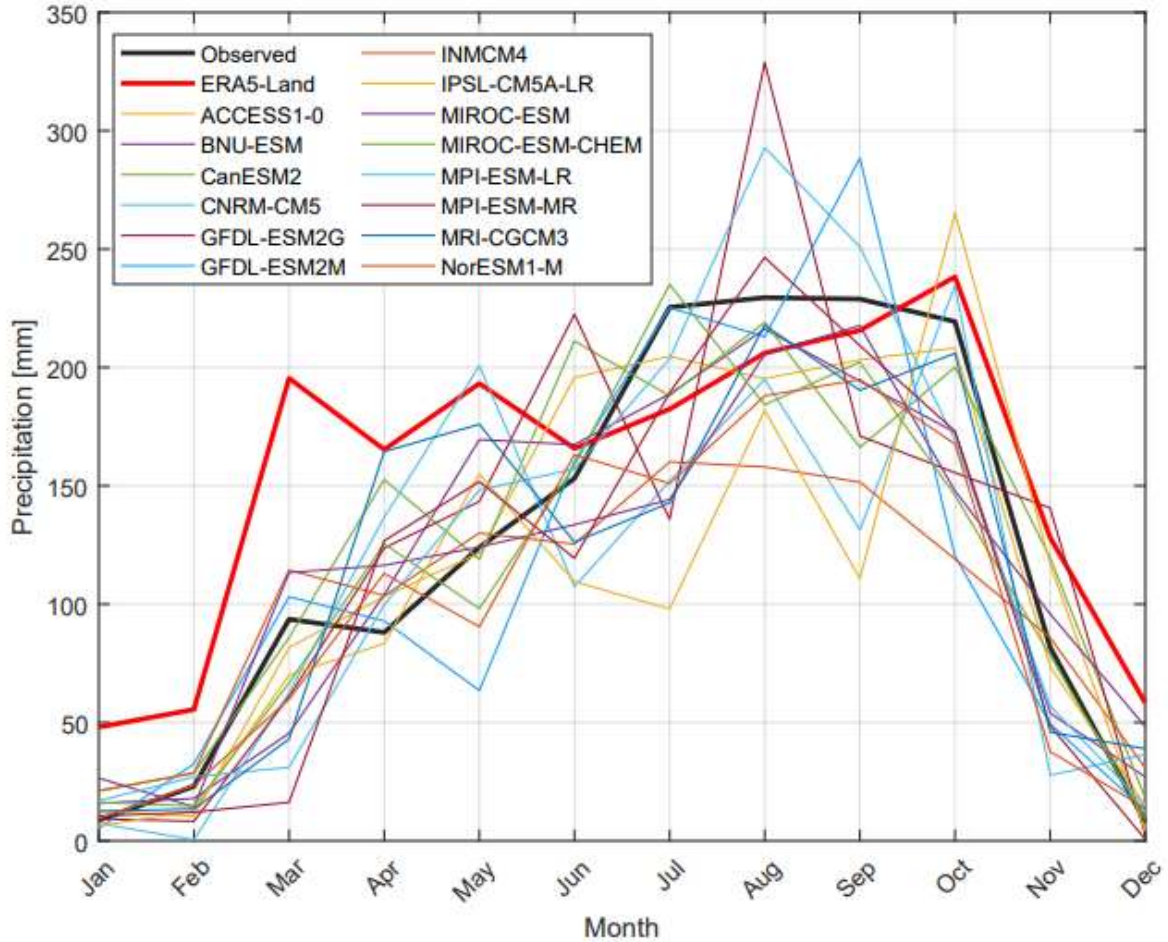
Bangui

- 489600 km²
- Barrage Mobaye
- Débit moyen : 4 000 m³/s

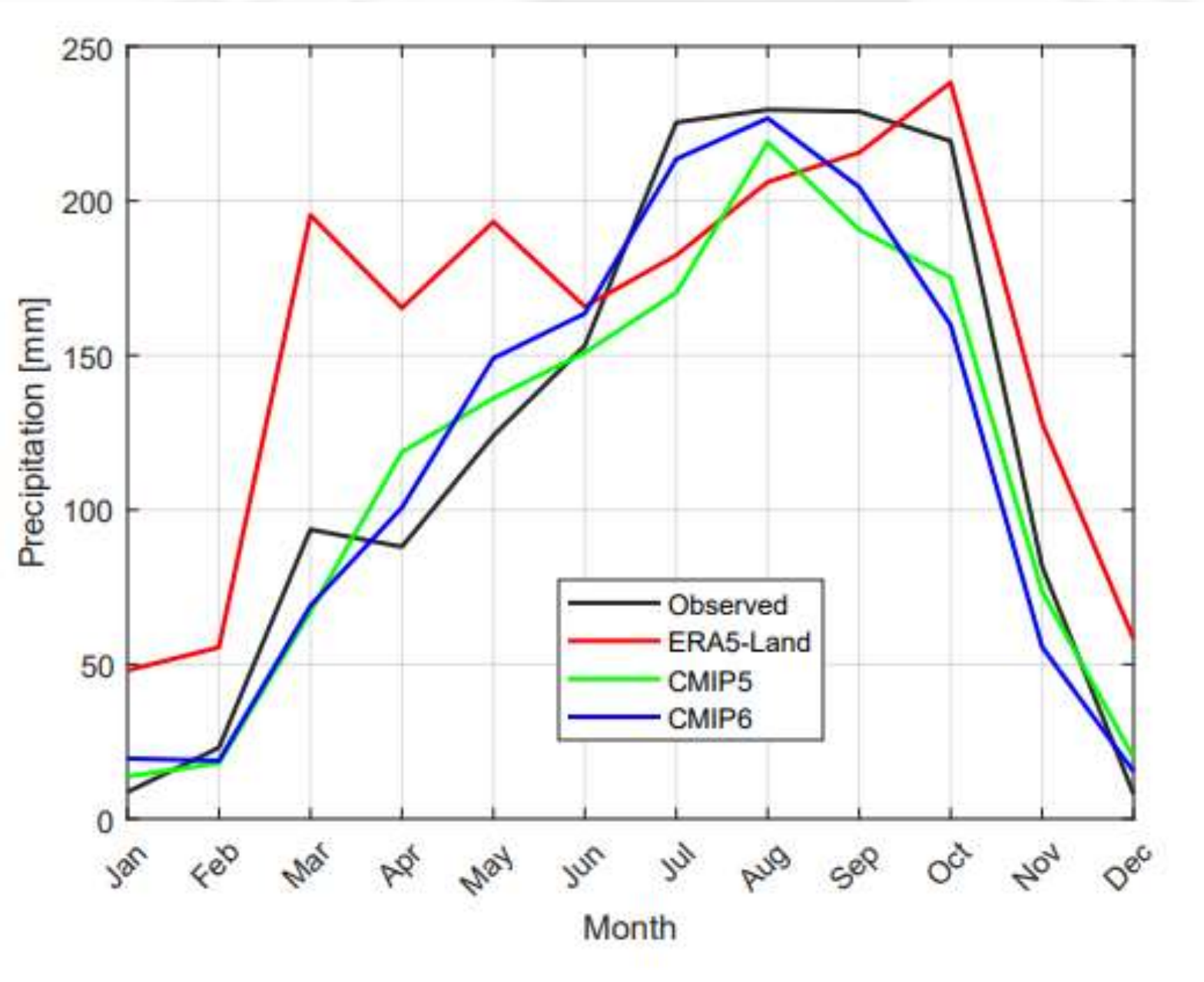


Résultats et discussions

Réanalyse & NEX-GDDP vs observations

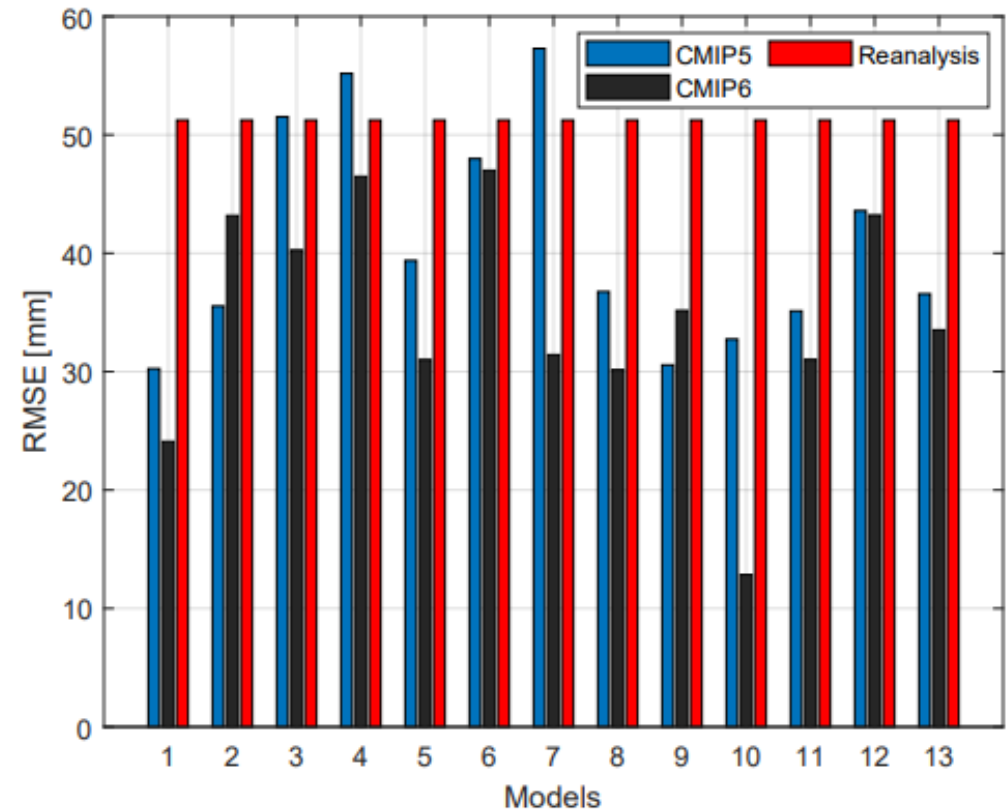
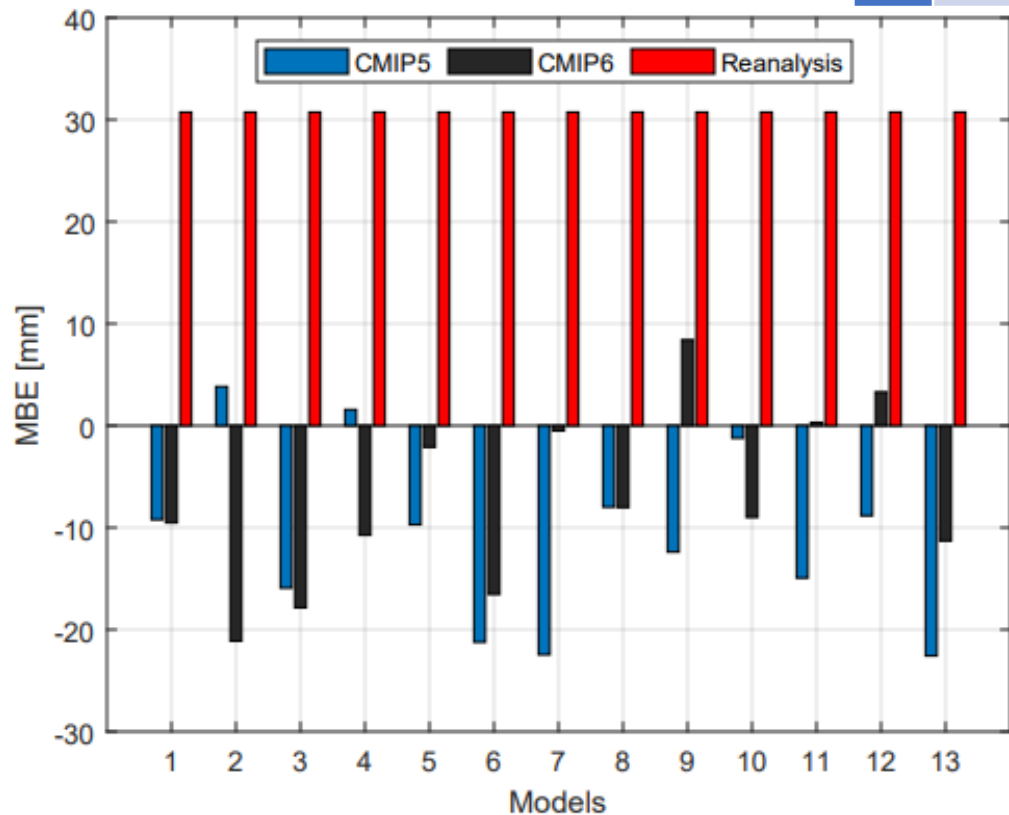


Réanalyse & NEX-GDDP vs observations



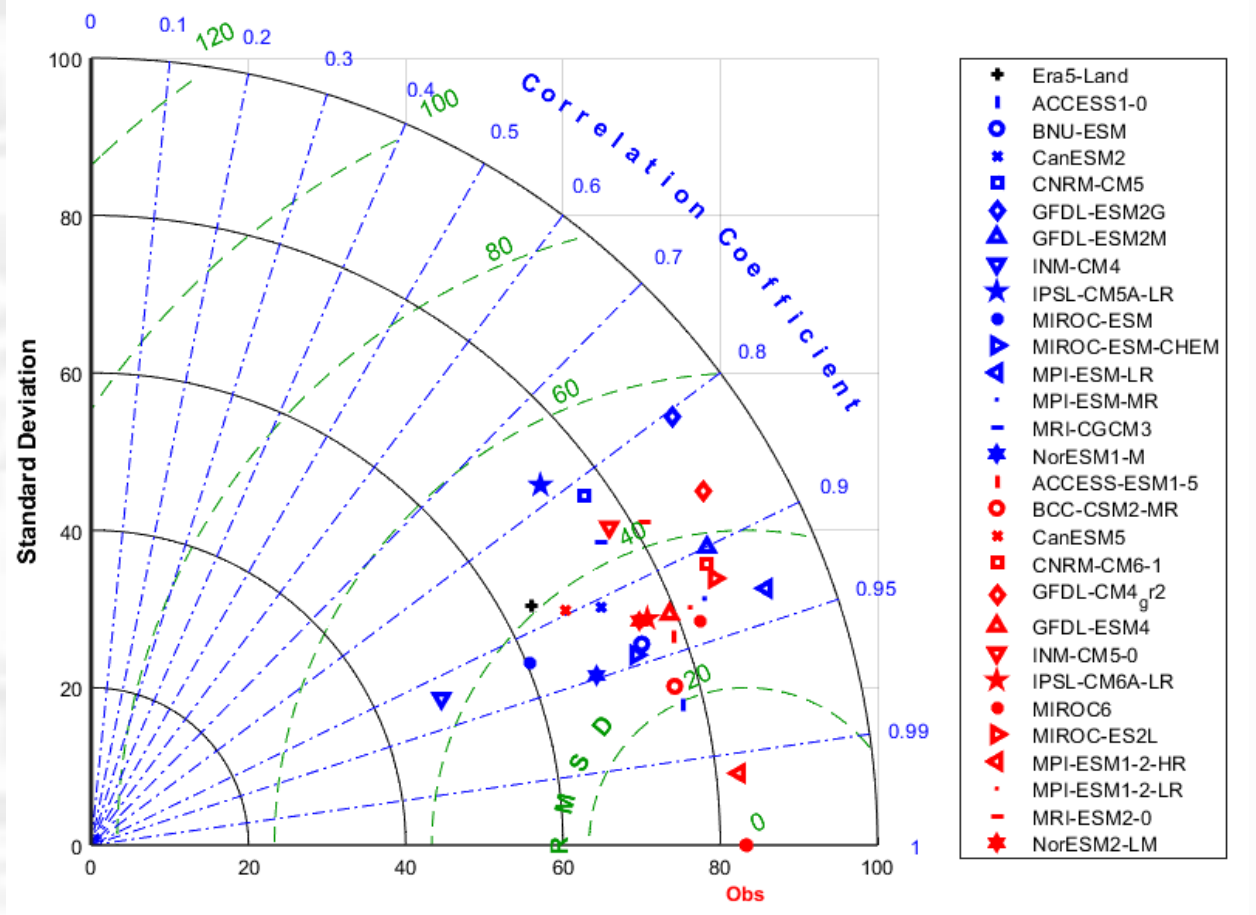
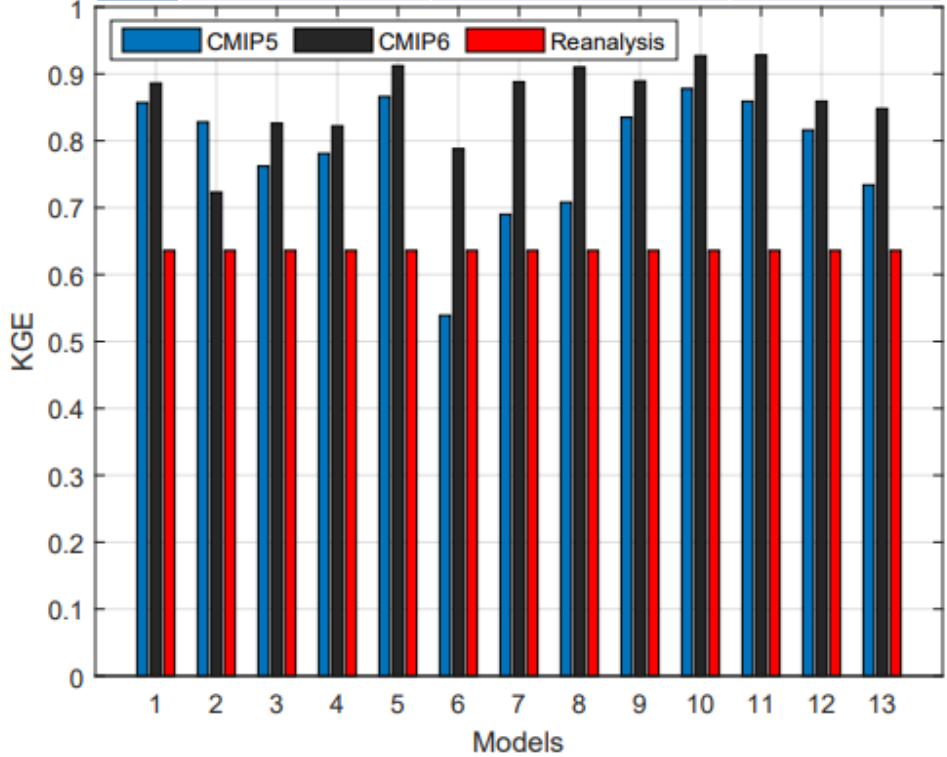
Mean Bias Error (MBE) & Root Mean Squared Error (RMSE)

N0	CMIP6	CMIP5	Reanalysis
1	BCC-CSM2-MR	BNU-ESM	ERA5-Land
2	CanESM5	CanESM2	ERA5-Land
3	CNRM-CM6-1	CNRM-CM5	ERA5-Land
4	GFDL-CM4-gr2	GFDL-ESM2G	ERA5-Land
5	GFDL-ESM4	GFDL-ESM2M	ERA5-Land
6	INM-CM5-0	INM-CM4	ERA5-Land
7	IPSL-CM6A-LR	IPSL-CM5A-LR	ERA5-Land
8	MIROC6	MIROC-ESM	ERA5-Land
9	MIROC-ES2L	MIROC-ESM-CHEM	ERA5-Land
10	MPI-ESM-1-2-HR	MPI-ESM-MR	ERA5-Land
11	MPI-ESM-1-2-LR	MPI-ESM-LR	ERA5-Land
12	MRI-ESM2-0	MRI-CGCM3	ERA5-Land
13	NorESM2-LM		

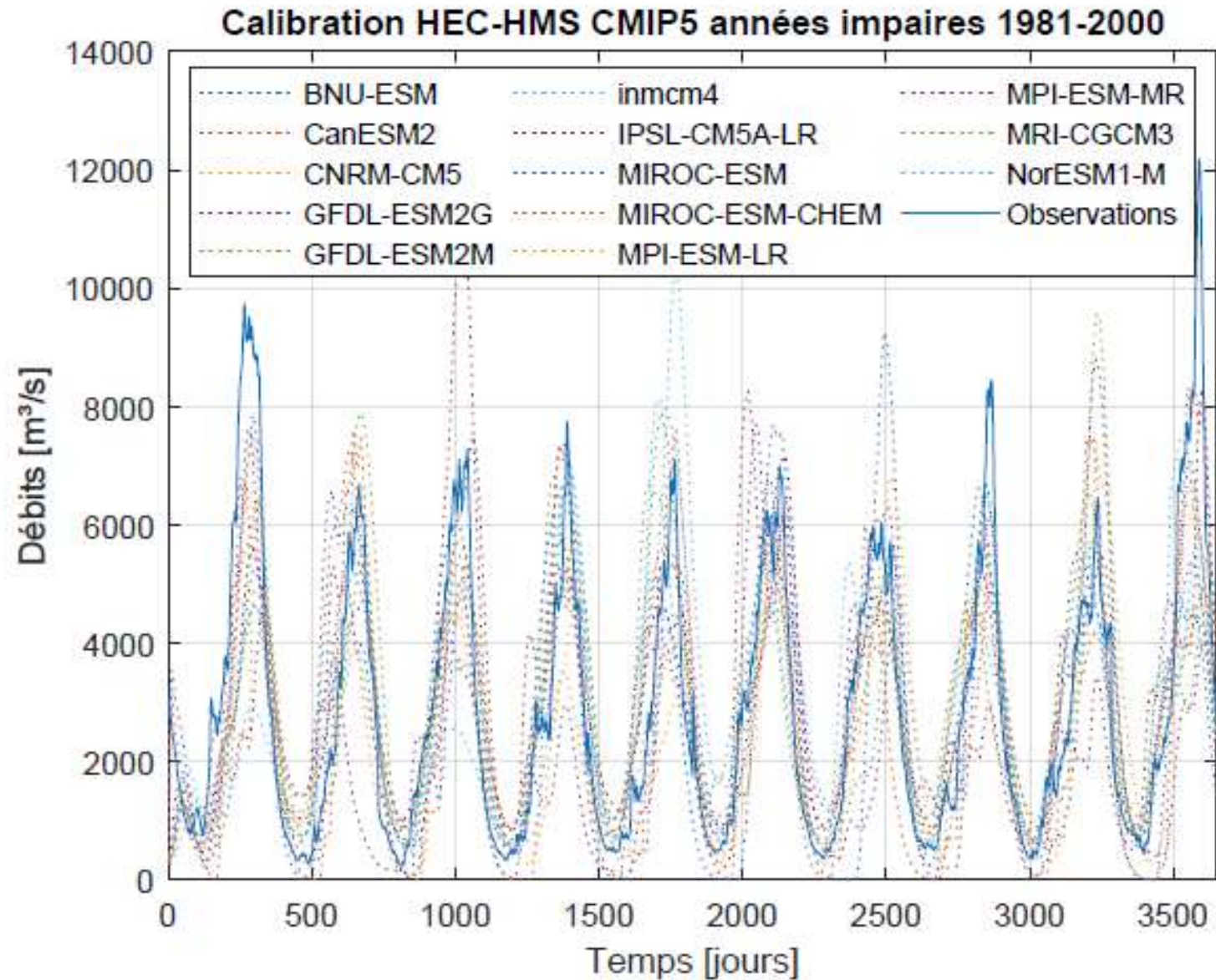


Kling-Gupta Model Efficiency (KGE) & Diagramme de Taylor

N0	CMIP6	CMIP5	Reanalysis
1	BCC-CSM2-MR	BNU-ESM	ERA5-Land
2	CanESM5	CanESM2	ERA5-Land
3	CNRM-CM6-1	CNRM-CM5	ERA5-Land
4	GFDL-CM4-gr2	GFDL-ESM2G	ERA5-Land
5	GFDL-ESM4	GFDL-ESM2M	ERA5-Land
6	INM-CM5-0	INM-CM4	ERA5-Land
7	IPSL-CM6A-LR	IPSL-CM5A-LR	ERA5-Land
8	MIROC6	MIROC-ESM	ERA5-Land
9	MIROC-ES2L	MIROC-ESM-CHEM	ERA5-Land
10	MPI-ESM1-2-HR	MPI-ESM-MR	ERA5-Land
11	MPI-ESM1-2-LR	MPI-ESM-LR	ERA5-Land
12	MRI-ESM2-0	MRI-CGCM3	ERA5-Land
13	NorESM2-LM	NorESM1-M	ERA5-Land

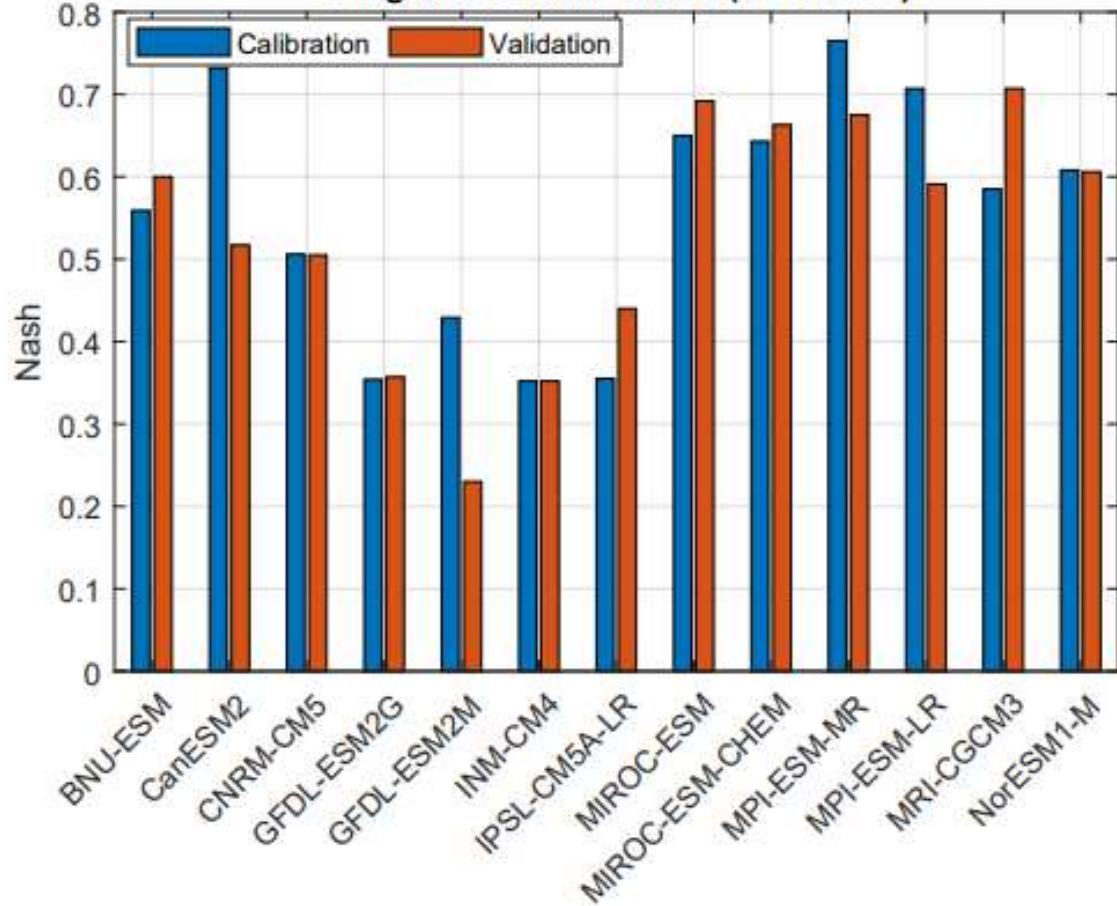


Modélisation hydrologique

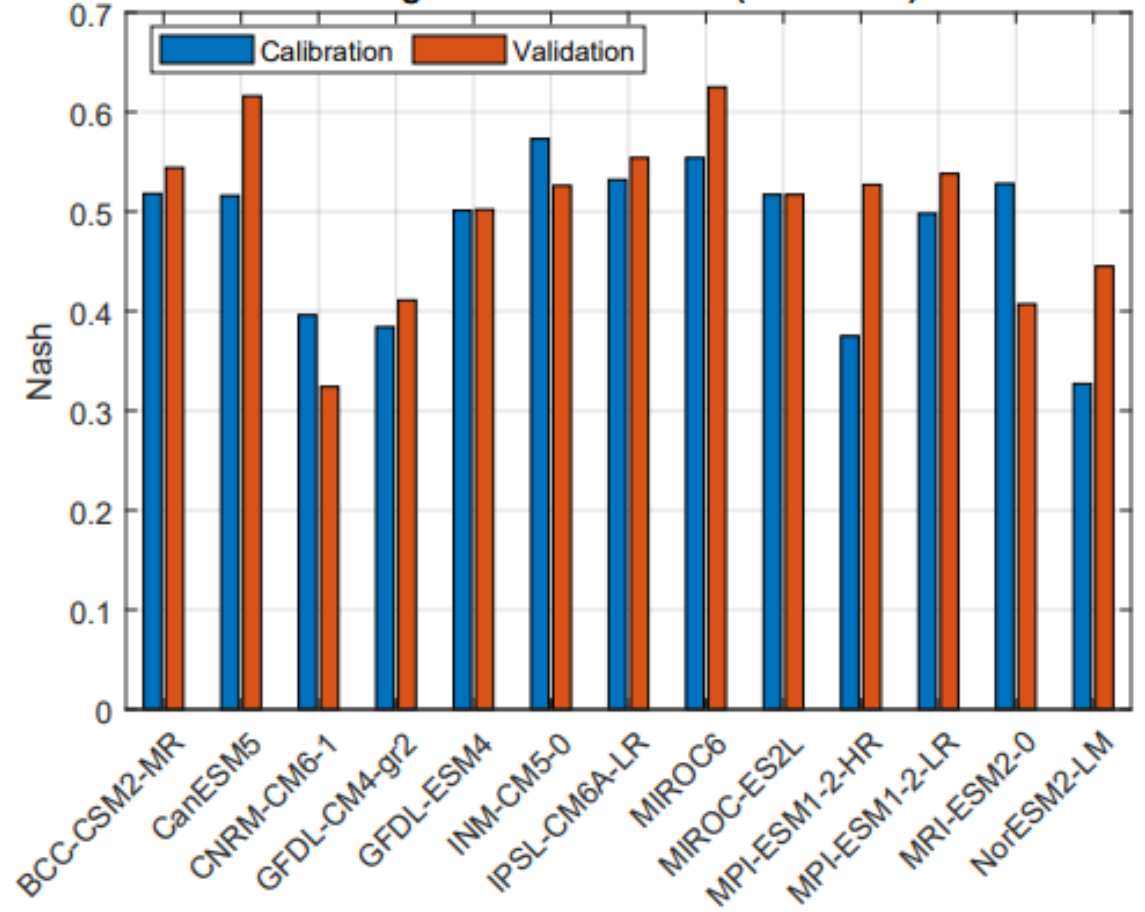


Modélisation hydrologique

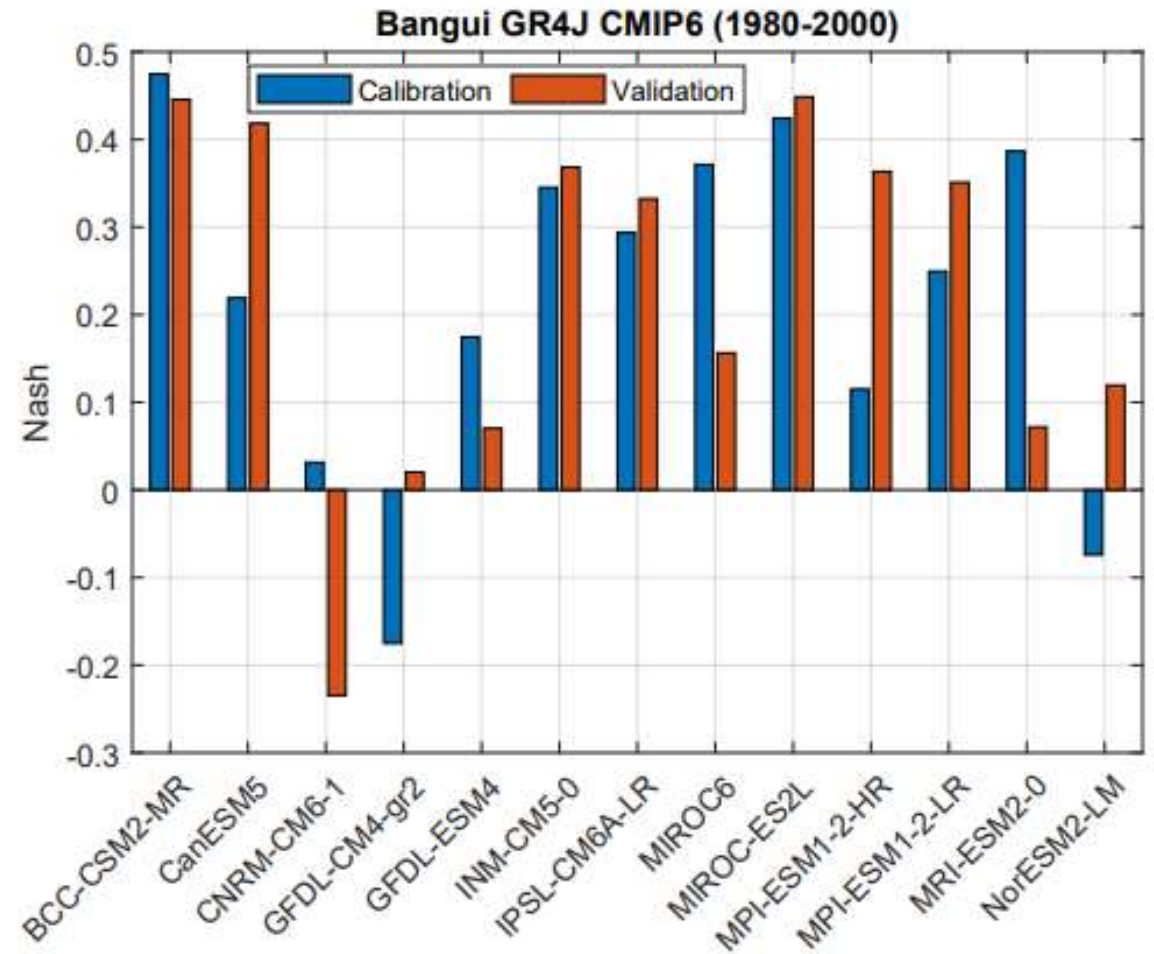
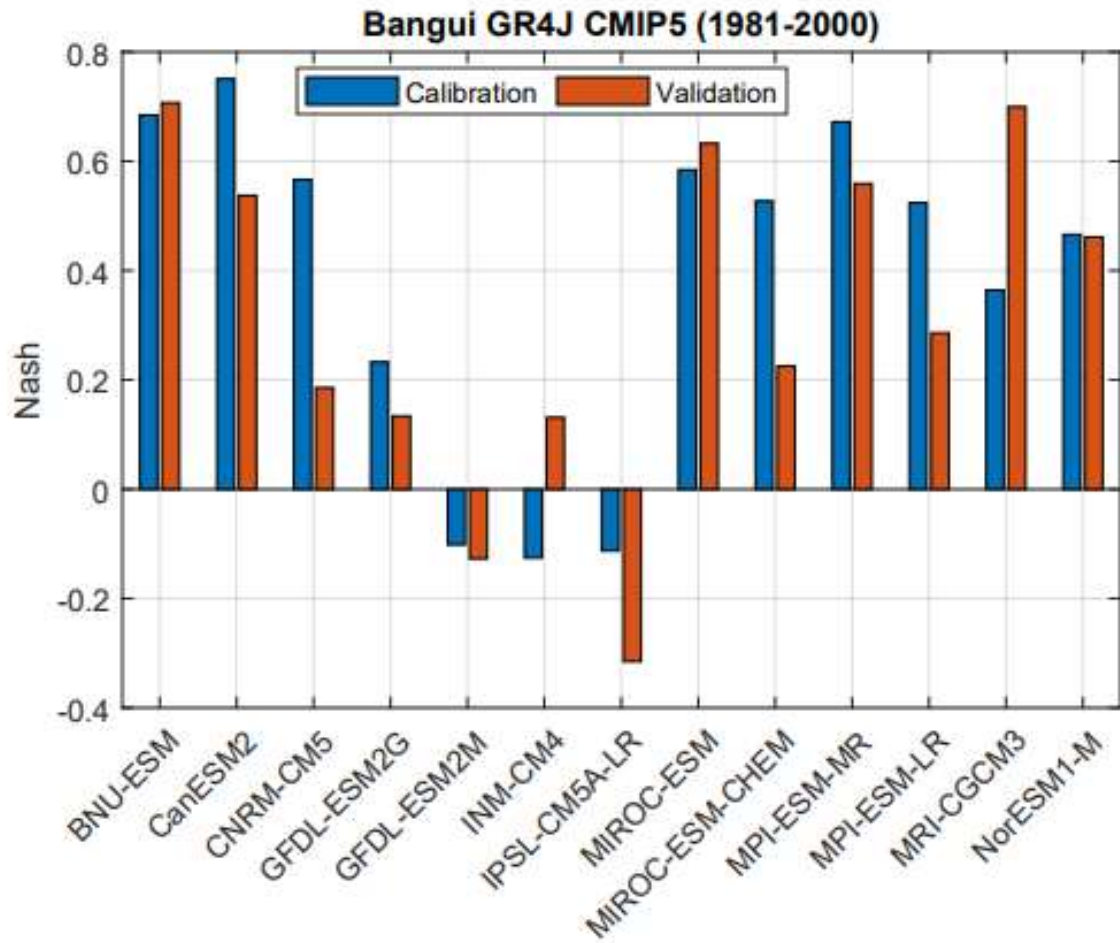
Bangui HEC-HMS-CMIP5 (1981-2000)



Bangui HEC-HMS-CMIP6(1981-2000)

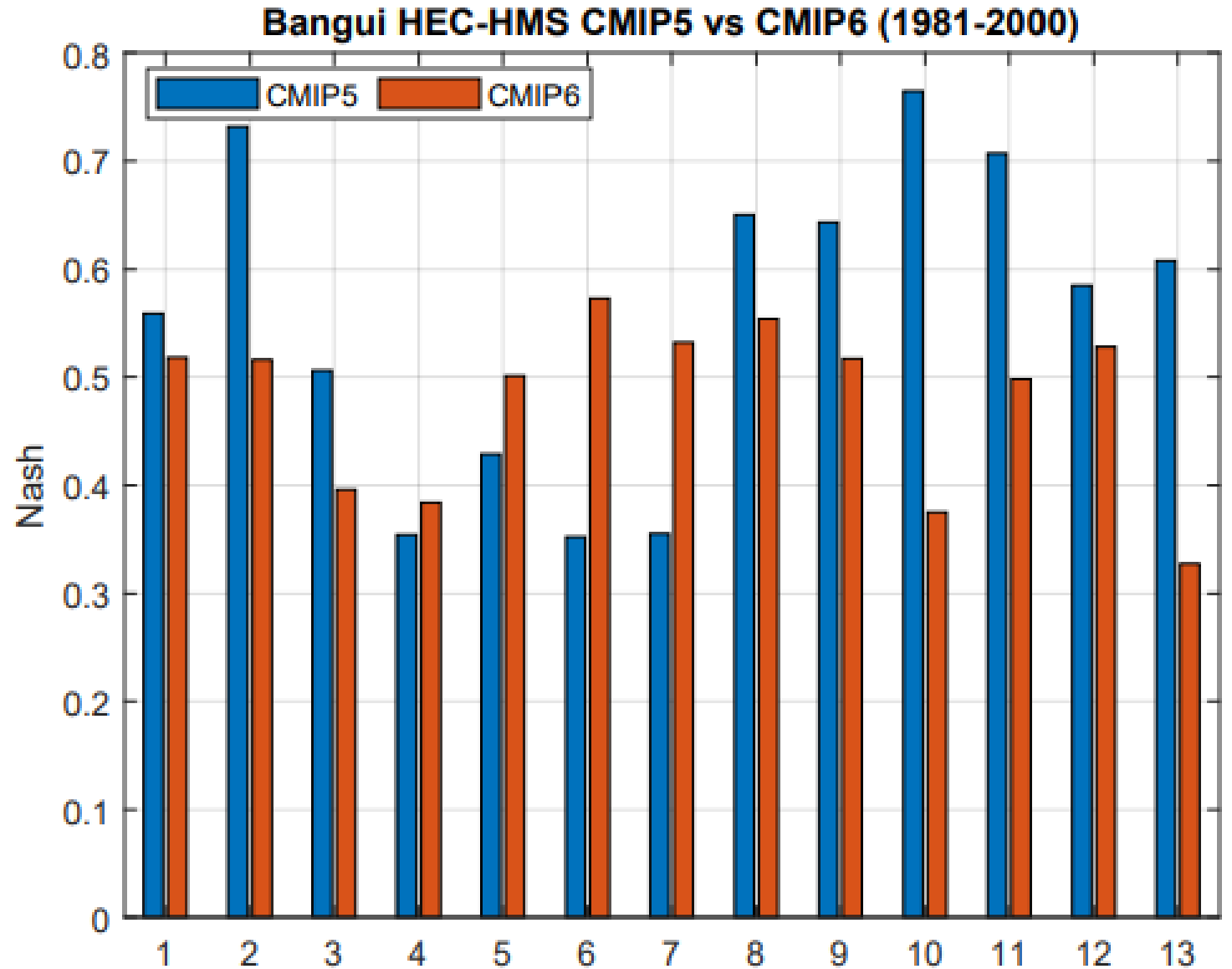


Modélisation hydrologique



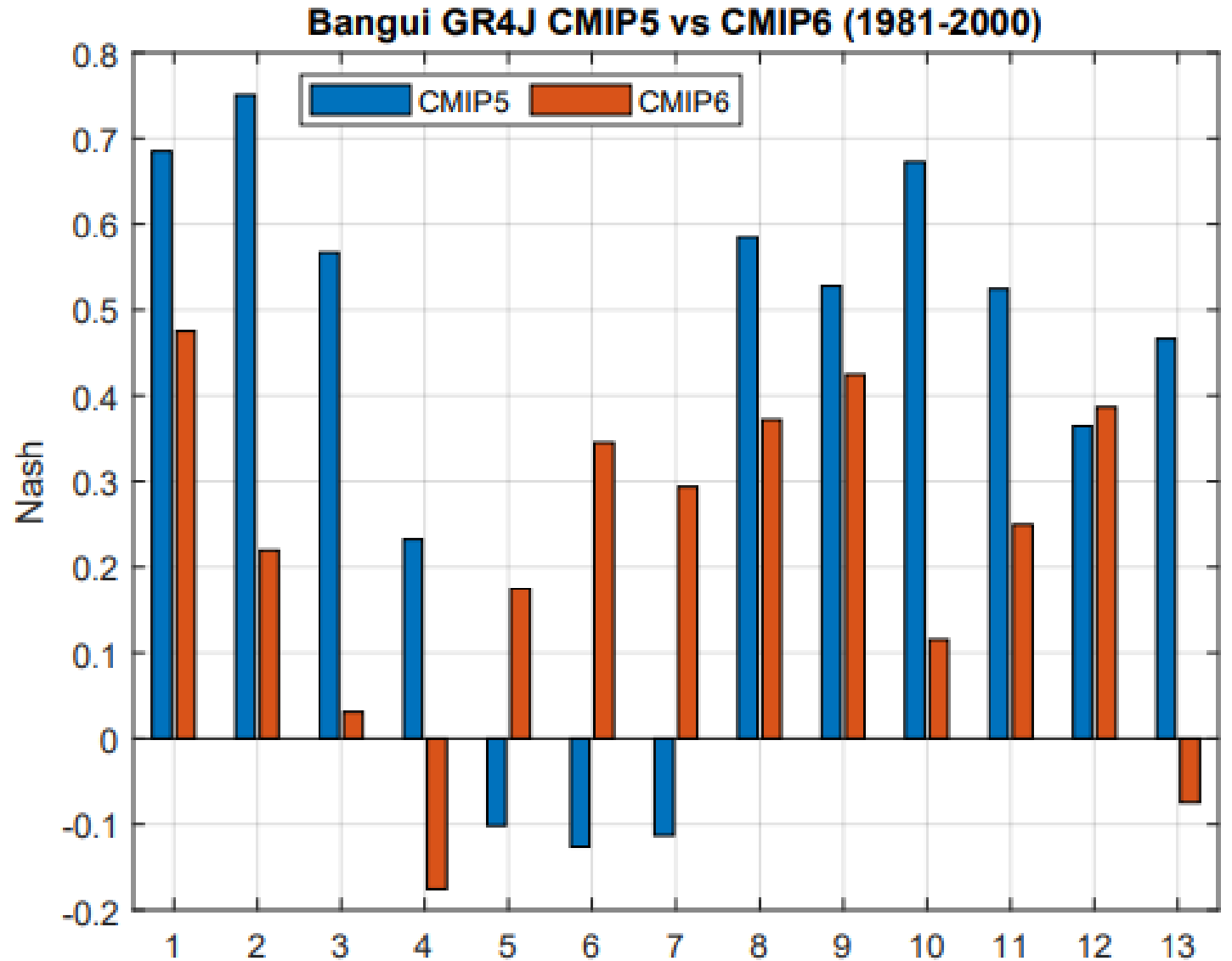
Modélisation hydrologique

N0	CMIP6	CMIP5	Reanalysis
1	BCC-CSM2-MR	BNU-ESM	ERA5-Land
2	CanESM5	CanESM2	ERA5-Land
3	CNRM-CM6-1	CNRM-CM5	ERA5-Land
4	GFDL-CM4-gr2	GFDL-ESM2G	ERA5-Land
5	GFDL-ESM4	GFDL-ESM2M	ERA5-Land
6	INM-CM5-0	INM-CM4	ERA5-Land
7	IPSL-CM6A-LR	IPSL-CM5A-LR	ERA5-Land
8	MIROC6	MIROC-ESM	ERA5-Land
9	MIROC-ES2L	MIROC-ESM-CHEM	ERA5-Land
10	MPI-ESM-1-2-HR	MPI-ESM-MR	ERA5-Land
11	MPI-ESM-1-2-LR	MPI-ESM-LR	ERA5-Land
12	MRI-ESM2-0	MRI-CGCM3	ERA5-Land
13	NorESM2-LM	NorESM1-M	ERA5-Land



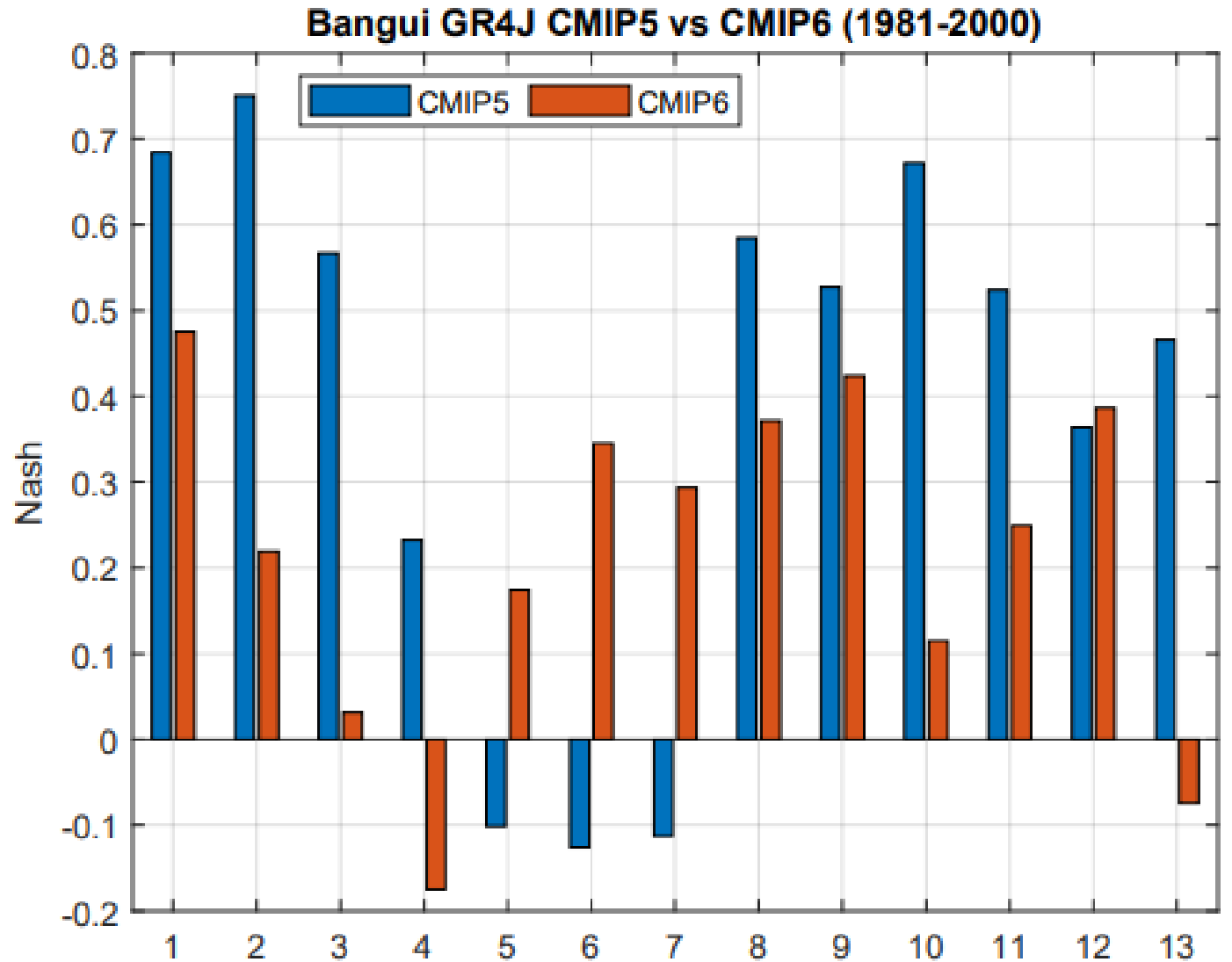
Modélisation hydrologique

N0	CMIP6	CMIP5	Reanalysis
1	BCC-CSM2-MR	BNU-ESM	ERA5-Land
2	CanESM5	CanESM2	ERA5-Land
3	CNRM-CM6-1	CNRM-CM5	ERA5-Land
4	GFDL-CM4-gr2	GFDL-ESM2G	ERA5-Land
5	GFDL-ESM4	GFDL-ESM2M	ERA5-Land
6	INM-CM5-0	INM-CM4	ERA5-Land
7	IPSL-CM6A-LR	IPSL-CM5A-LR	ERA5-Land
8	MIROC6	MIROC-ESM	ERA5-Land
9	MIROC-ES2L	MIROC-ESM-CHEM	ERA5-Land
10	MPI-ESM-1-2-HR	MPI-ESM-MR	ERA5-Land
11	MPI-ESM-1-2-LR	MPI-ESM-LR	ERA5-Land
12	MRI-ESM2-0	MRI-CGCM3	ERA5-Land
13	NorESM2-LM	NorESM1-M	ERA5-Land



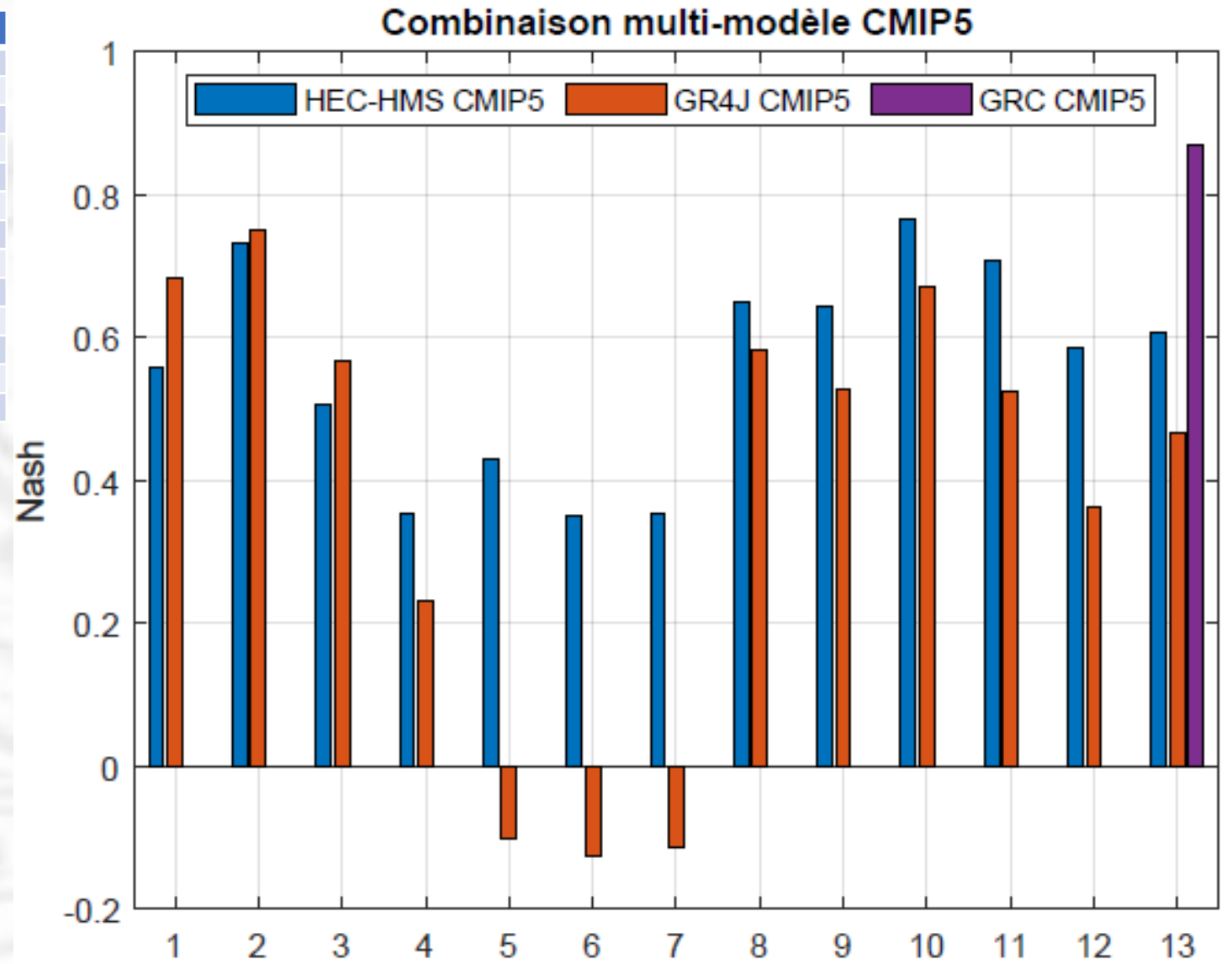
Modélisation hydrologique

N0	CMIP6	CMIP5	Reanalysis
1	BCC-CSM2-MR	BNU-ESM	ERA5-Land
2	CanESM5	CanESM2	ERA5-Land
3	CNRM-CM6-1	CNRM-CM5	ERA5-Land
4	GFDL-CM4-gr2	GFDL-ESM2G	ERA5-Land
5	GFDL-ESM4	GFDL-ESM2M	ERA5-Land
6	INM-CM5-0	INM-CM4	ERA5-Land
7	IPSL-CM6A-LR	IPSL-CM5A-LR	ERA5-Land
8	MIROC6	MIROC-ESM	ERA5-Land
9	MIROC-ES2L	MIROC-ESM-CHEM	ERA5-Land
10	MPI-ESM-1-2-HR	MPI-ESM-MR	ERA5-Land
11	MPI-ESM-1-2-LR	MPI-ESM-LR	ERA5-Land
12	MRI-ESM2-0	MRI-CGCM3	ERA5-Land
13	NorESM2-LM	NorESM1-M	ERA5-Land



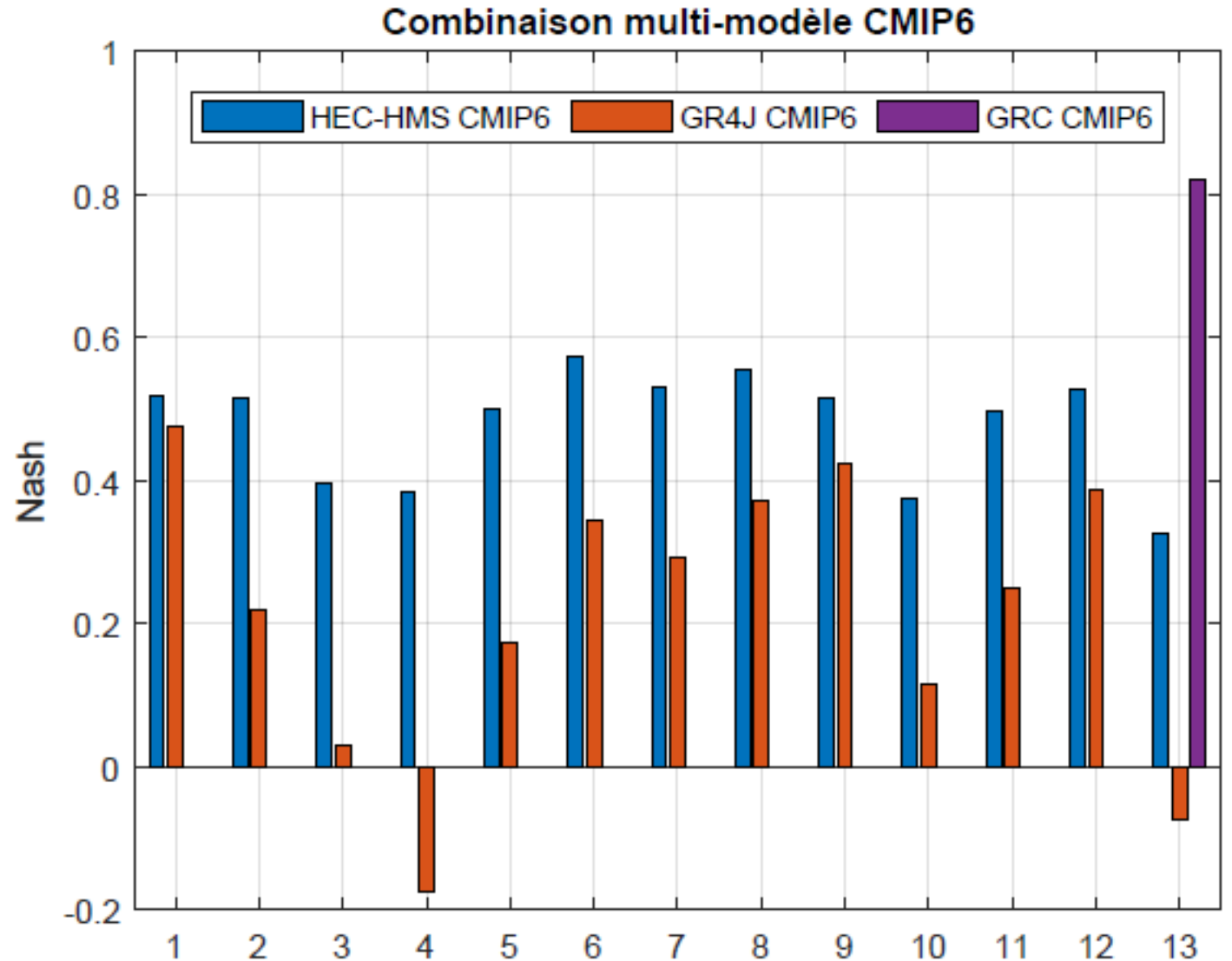
Modélisation multi-modèle

N0	CMIP6	CMIP5	Reanalysis
1	BCC-CSM2-MR	BNU-ESM	ERA5-Land
2	CanESM5	CanESM2	ERA5-Land
3	CNRM-CM6-1	CNRM-CM5	ERA5-Land
4	GFDL-CM4-gr2	GFDL-ESM2G	ERA5-Land
5	GFDL-ESM4	GFDL-ESM2M	ERA5-Land
6	INM-CM5-0	INM-CM4	ERA5-Land
7	IPSL-CM6A-LR	IPSL-CM5A-LR	ERA5-Land
8	MIROC6	MIROC-ESM	ERA5-Land
9	MIROC-ES2L	MIROC-ESM-CHEM	ERA5-Land
10	MPI-ESM-1-2-HR	MPI-ESM-MR	ERA5-Land
11	MPI-ESM-1-2-LR	MPI-ESM-LR	ERA5-Land
12	MRI-ESM2-0	MRI-CGCM3	ERA5-Land
13	NorESM2-LM	NorESM1-M	ERA5-Land



Modélisation multi-modèle

N0	CMIP6	CMIP5	Reanalysis
1	BCC-CSM2-MR	BNU-ESM	ERA5-Land
2	CanESM5	CanESM2	ERA5-Land
3	CNRM-CM6-1	CNRM-CM5	ERA5-Land
4	GFDL-CM4-gr2	GFDL-ESM2G	ERA5-Land
5	GFDL-ESM4	GFDL-ESM2M	ERA5-Land
6	INM-CM5-0	INM-CM4	ERA5-Land
7	IPSL-CM6A-LR	IPSL-CM5A-LR	ERA5-Land
8	MIROC6	MIROC-ESM	ERA5-Land
9	MIROC-ES2L	MIROC-ESM-CHEM	ERA5-Land
10	MPI-ESM-1-2-HR	MPI-ESM-MR	ERA5-Land
11	MPI-ESM-1-2-LR	MPI-ESM-LR	ERA5-Land
12	MRI-ESM2-0	MRI-CGCM3	ERA5-Land
13	NorESM2-LM	NorESM1-M	ERA5-Land



Impacts du climat futur sur le débit

Référence:1981-2000

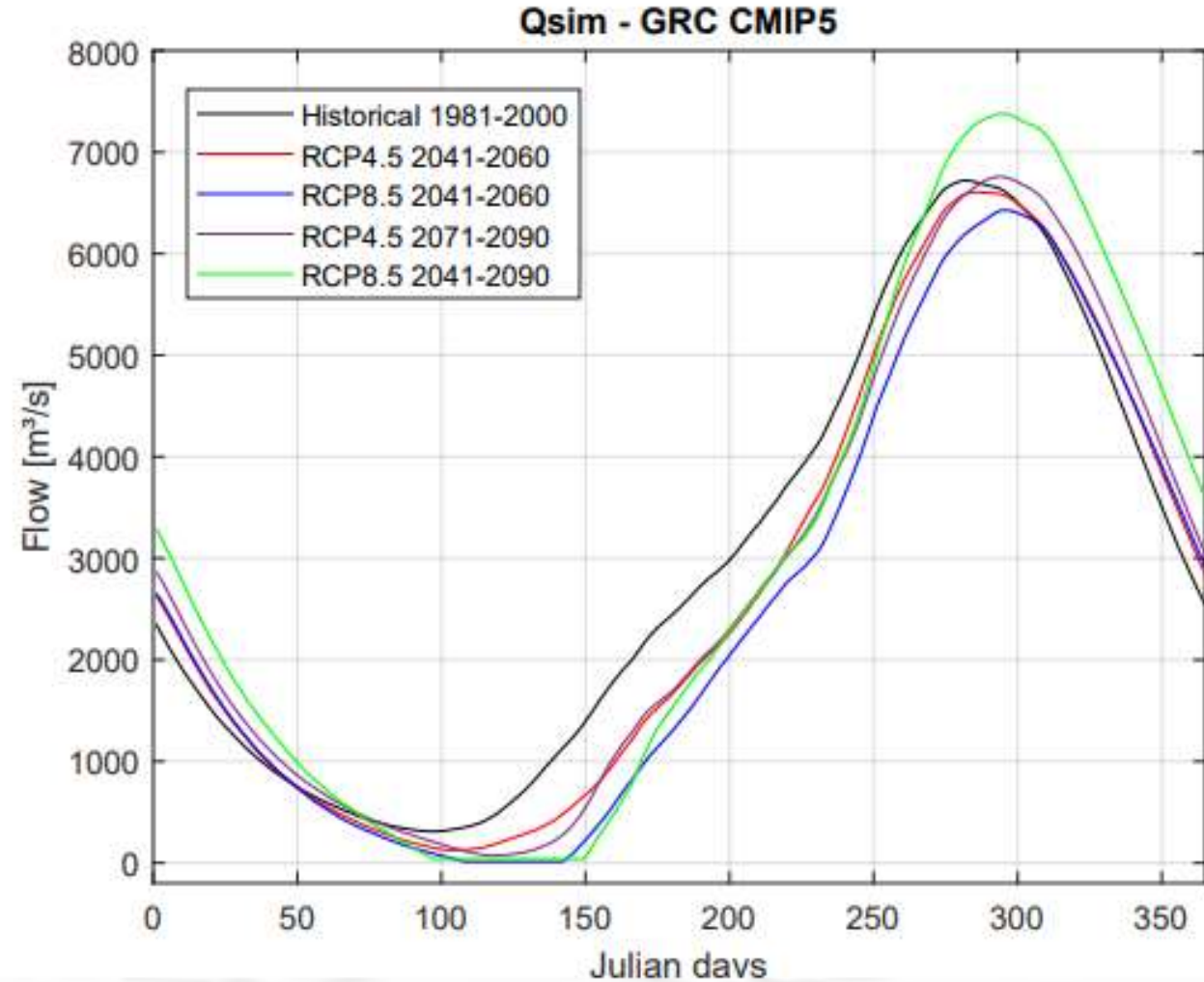
Futur proche (2041-2060)

Futur lointain (2071-2090)

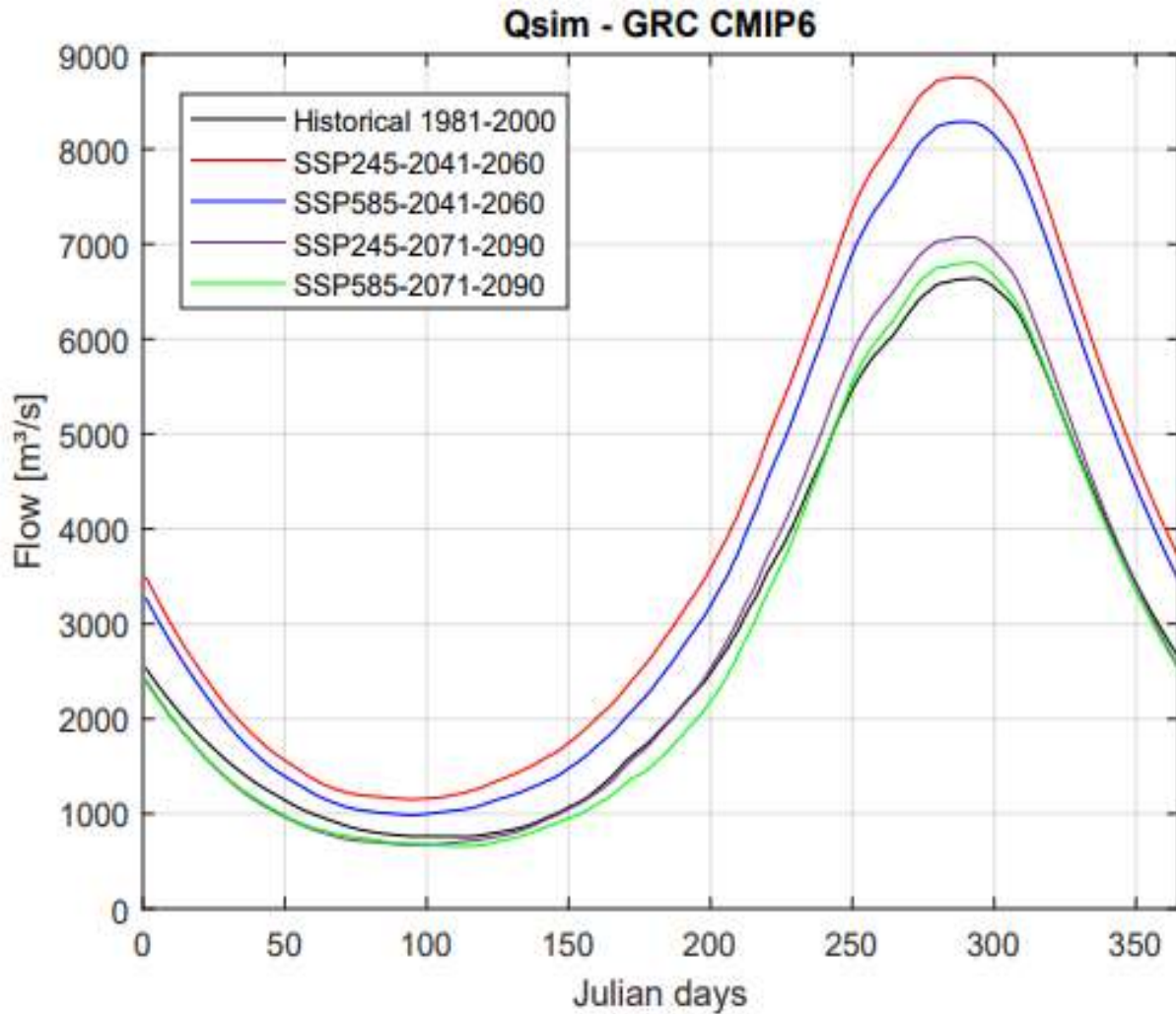
Scénarios

CMIP5:RCP 4.5 et RCP 8.5

CMIP6: SSP2 4.5 et SSP5 8.5

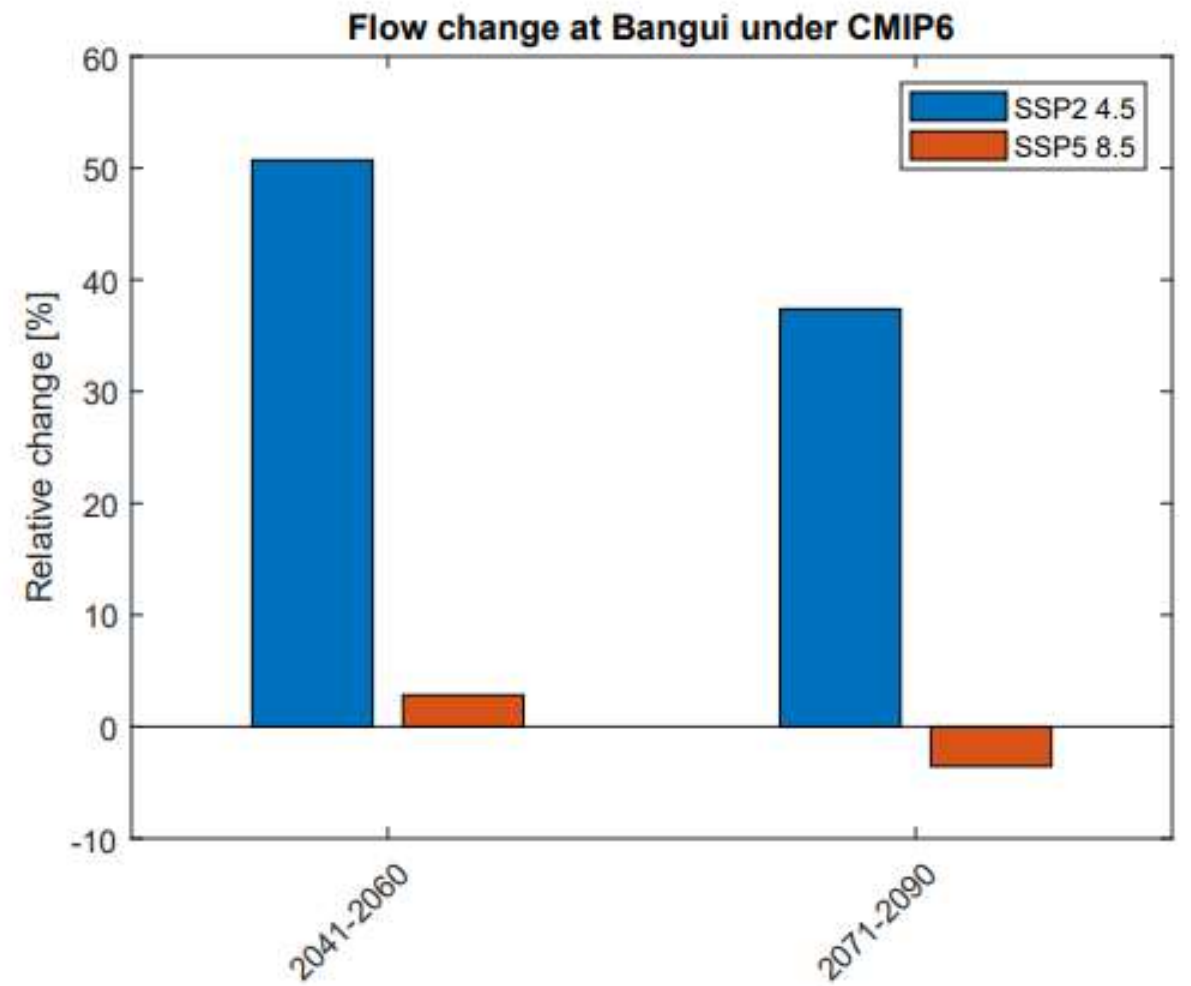
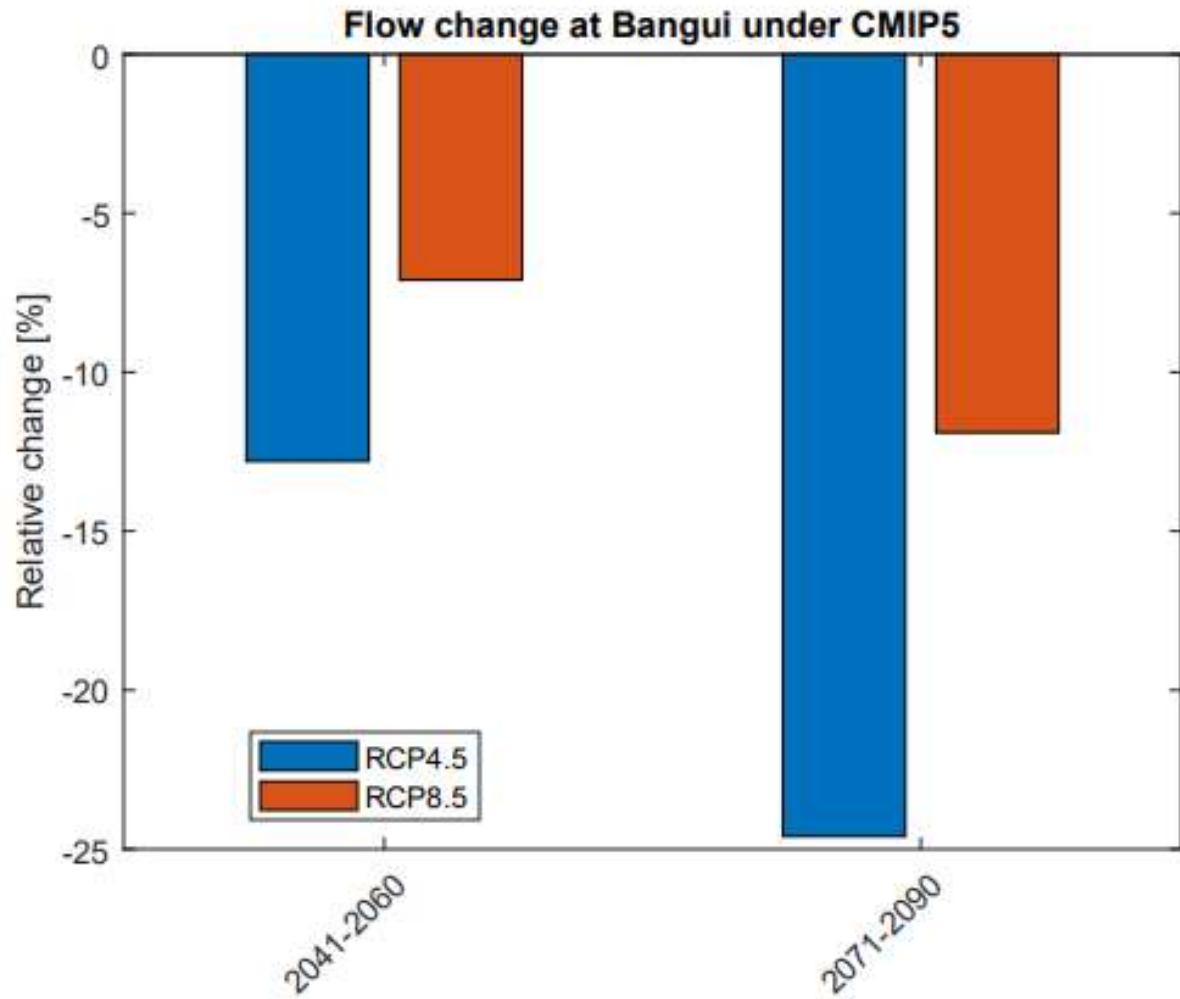


Impacts du climat futur sur le débit



	NEX - GDDP	EMISSION SCENARIO	TIME PERIOD	CHANGE IN FLOW [%]
Relative change- CMIP5	CMIP5	RCP 4.5	2041-2060	-12.80
	CMIP5	RCP 4.5	2071-2090	-24.60
	CMIP5	RCP 8.5	2041-2060	-7.10
	CMIP5	RCP 8.5	2071-2090	-11.90
Relative change- CMIP6	CMIP6	SSP2 4.5	2041-2060	+50.71
	CMIP6	SSP2 4.5	2071-2090	+37.38
	CMIP6	SSP5 8.5	2041-2060	+2.83
	CMIP6	SSP5 8.5	2071-2090	-3.54

Impacts du climat futur sur le débit



Conclusion

NEX-GDDP CMIP5 ?
NEX-GDDP CMIP6 ?

Merci de votre attention !!!



Questions ?